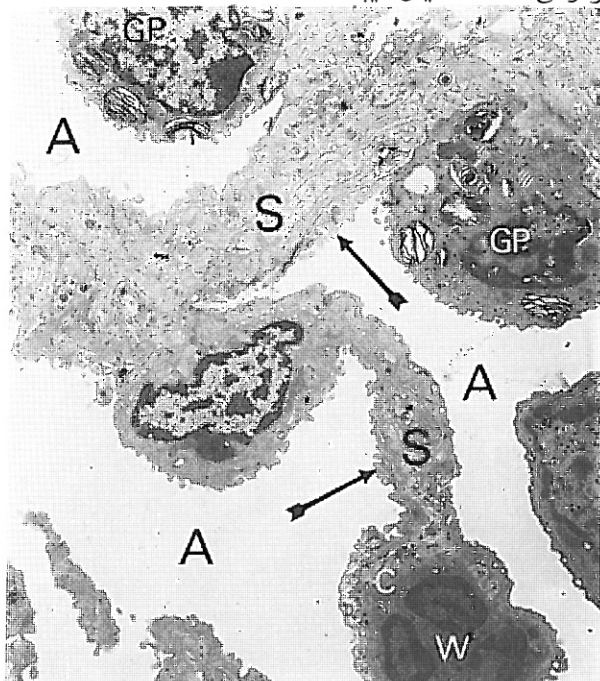


بررسی پارانشیم ریه با میکروسکوپ الکترونیک

تحقیق و نوشته

دکتر حمیرا موسوی

متشكل از دیواره‌های ظریف آلوئی که محتوى مویرگهای فراوانی هستند نمایان می‌باشد.



تصویر شماره ۱ : در این تصویر نمای کلی پارانشیم که سطح داخلی مویرگ (۲۵) را میبیشانند و در تماس ریه در مطالعه بامیکروسکوپ الکترونیک دیده میشود . فضای آلوئی (A) توسط دیواره هائی (S) از یکدیگر جدا شده‌اند . قسمت اعظم فضای آلوئی توسط سیتوپلاسم طویل مبرانوس نوموسایتها (پیکان سیاه) و ندرتاً توسط گرانولار-نوموسایتها (GP) مفروش شده است در قاعده این تصویر یک مویرگ آلوئی (C) دیده میشود که فضای داخل آن توسط یک گلبول سفید پولسی مورف (W) اشغال شده است . (۷۵۰۰X)

بررسی زیر جهت مطالعه ساختمان پارانشیم ریه بوسیله میکروسکوپ الکترونیک انجام گرفته است. بدین منظور قطعاتی از ریه شش نوزاد که بعلی غیراز عوارض تنفسی در گذشته بودند استفاده شد. در کلیه موارد بعد از توراکوتومی بیوپسی های کوچک و متعددی از ریه چپ بعمل آمد . هر یک از این قطعات برروی ورقه‌ای از طلاق قرارداده شد و بوسیله تیغه مخصوص به قطعات بداخل شیشه محتوى میلی‌متر مربع تقسیم گردید . این قطعات بدأ خارج شانی گردد که قبل باورونال استیت (۱) با حرارت ۴ درجه سانتی گراد داشت منتقل گردید و بمدت ۱۲ ساعت در حرارت ۴-۲ درجه سانتی گراد نگاهداری شد .

نسوج ثابت (۳) شده به طریق الذکر بوسیله مخلوط سوکروزایزوتونیک و ورونال استیت با $\text{PH}=7$ بمدت ۱۲ ساعت شسته شد . سپس باقیها در محلول یک درصد آزمیوم تراکسالید (۴) در حرارت ۴ درجه سانتی گراد بمدت یکساعت قرار داده شد (Post fixation) . شش قطعه نسج از ریه هریک از نوزادان انتخاب و در اتافل دهیدراته شد . برش‌های بسیار نازک خاص میکروسکوپ الکترونیک بوسیله اولتراتوم L.K.B. و چاقوی کریستال تهیه شد . نسوج در روی صفحات بنام Copper Grids قرار داده بوسیله «کاکاوالیک یورانیل استیت» (۵) و سپس بوسیله «لیدسیتریت» رنگ آمیزی شدند از میکروسکوپ الکترونیک نوع A.E.I.E.M. 6B. جهت آزمایش نسوج تهیه شده استفاده گردید و از ساختمان هر نسج عکس‌های متعددی تهیه شد .

نتایج :

با درشت‌نمایی ضعیف منظره تیپیک پارانشیم ریه

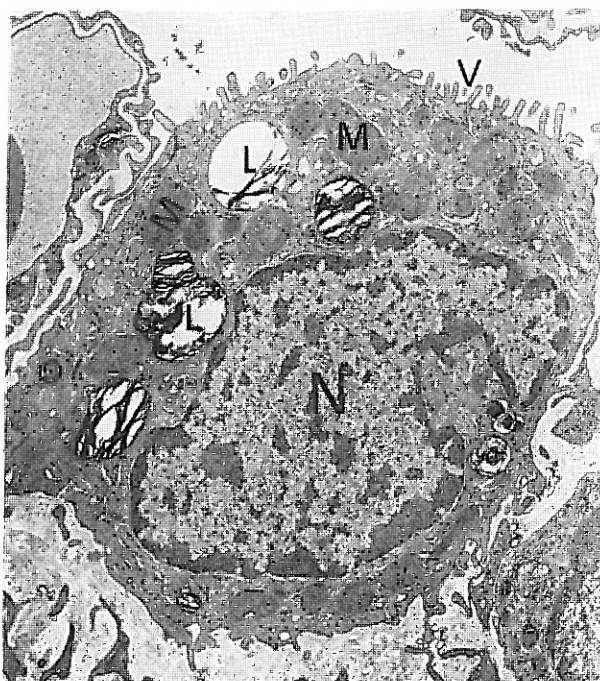
* بخش آسیب‌شناسی دانشکده پزشکی دانشگاه لیورپول

- | | |
|------------------------------|----------------------|
| 1 - Glutaraldehyde | 3 - Fix |
| 2 - Veronal acetate | 4 - Osmium Tetroxide |
| 5 - Alcoholic uranyl Acetate | |

دستگاه گازی و اندوپسمیک (۱۰) رتیکولوم بررسی میشود (تصویر شماره ۲) .

در حد واسط سلول های طویل تیپ I سلول های

گرد یا بیضی دیده میشوند که بنام تیپ II یا گرانولا نوموسایت خوانده میشوند (تصاویر شماره ۱ و شماره ۳) . این سلولها بداخل فضای آلوئی بر جستگی پیدا کرده و عموماً لاقسمتی از سیتوپلاسم آنها بوسیاه سلول های تیپ I پوشانده میشود. لبه آزاد این سلولها محتوى میکروویاپیهای کوتاه میباشد. علامت مشخصه این سلول ها وجود گرانول های بزرگ گرد



تصویر شماره ۳ : در این تصویر یک گرانولا نوموسایت دیده میشود که قسمتی از دیواره یک آلوئل ریوی را پاشانده است. Microvilli (V) ، همچو کندریها (M) ، لاملار بادی های محتوى سورفتکست (L) و هسته سلول (M) با این درشت نمائی قابل تشخیص میباشند (۱۲۵۰۰ ×) .

یا بیضی است (تصاویر ۱ و ۳ و ۴) و بهمین علت است که بنام گرانولا نوموسایت نامیده میشوند.

این گرانول ها محتوى ماده لایه و تیره رنگی (۱۲) میباشند ولی ندرتاً ممکن است که خالی بنظر برسند. این گرانول ها بنام لاملار بادی (۱۳) نامیده میشوند. سلول های تیپ II دارای میتوکندریهای گرد، بیضی و یادرازی هستند که محتوى تعداد زیادی شاخک (۱۴) بوده و ماتریکس این

اجزاء سازنده دیواره آلوئل های ریه عبارتند از :

۱ - سلول اپیتلیال مفروش کننده فضاهای آلوئلی

۲ - ماکروفازهای پولونر

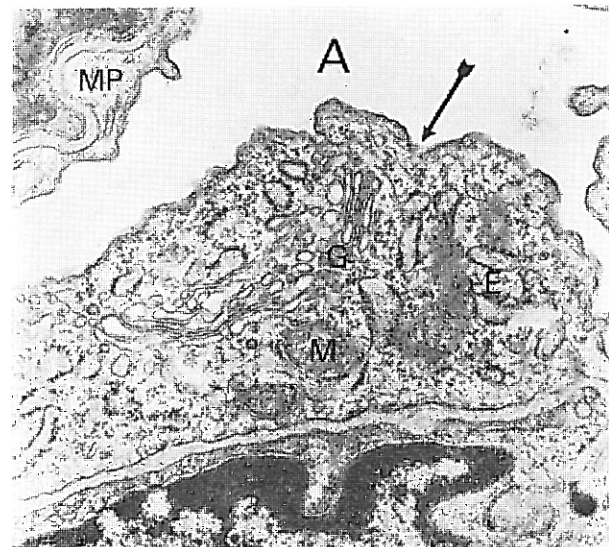
۳ - مویر گهای

۱ - سلولهای اپیتلیال مفروش کننده فضاهای آلوئلی :

این سلول ها که در تماس مستقیم با هوای داخل آلوئل های ریه هستند بنام نوموسایت (۷) نامیده میشوند. نوموسایتها بر دونوع بوده و تاکنون به نامهای مختلفی نامیده شده اند. مشهورترین این اسمی عبارتند از :

- سلول تیپ I یا ممبرانوس نوموسایت (۸)

- سلول تیپ II یا گرانولا نوموسایت (۹) مبرانوس نوموسایتها (تصویر شماره ۱) سلول های بسیار طویل و کم خدامت میباشند (وجه تسمیه) که قسمت اعظم دیواره آلوئل و همچنین مویر گهای آلوئلی را میبیشانند طول هر مبرانوس نوموسایت آنقدر زیاد است که بذریت ممکن است هسته سلول دیده شود سیتوپلاسم این سلول ها ساختمان بخصوصی ندارد و فقط در نواحی که اندکی خدامت پیدا کرده باشند محتویات سیتوپلاسمی آنها مانند میتوکندریها،



تصویر شماره ۲ : در این تصویر قسمتی از یک فضای آلوئلی (A) دیده میشود که توسط مبرانوس نوموسایت پوشیده شده است. این نوع نوموسایت اکثراً بسیار کم خدامت بوده (MP) ولی اگر در یک ناحیه اندکی خدامت پیدا کند (پیکان سیاه) اجزاء داخل سیتوپلاسم آن مانند میتوکندری (M) ، دستگاه گلزاری (G) و اندوپلاسمیک رتیکولوم (E) قابل تشخیص میشود (۵۰۰۰۰ ×) .

6 - Lead Citrate

7 - Pneumocytes

8 - Type I Cell or Membranous Pneumocyte

9 - Type II Cell or Granular Pneumocyte

10 - Endoplasmic Reticulum

11 - Microvilli

12 - Electron Dense

13 - Lamellar Bodies

14 - Cristae

در هر دو فیکساتیو ساختمان یکنواختی داشتند . او بدین ترتیب ثابت کرد که لمباربادیها نمیتوانند از میتوکندریها مشتق شده باشند .

در سال ۱۹۵۵ Pattle اول کسی بود که کشش سطحی بسیار انداز مایعات آلوئل های ریه را کشف نمود Clements در ۱۹۵۷ وجود سورفکنت (۱۷) را در مایعات آلوئلی شرح داد و آن دلکبودن کشش سطحی این مایعات را بعلت وجود این ماده دانست . از آنجائیکه منبع سازنده سورفکنت در ریه و همچنین فونکسیون حقیقی لمباربادی های گرانولار نوموسایت ها معلوم نبود تجربیات بسیاری بمنظور نشان دادن ارتباط بین این دو مجهول انجام شد . از آنجمله مطالعه با میکروسکوپ الکترونیک نشان داد که لمباربادی ها در ریه نزد موش تاقیل از هجدهمین روز Gestation که برای برایک روز قبل از Parturition است وجود ندارند .

در ۱۹۵۸ دیگر اندازه گیری کشش سطحی عباره ریه همین حیوانات نشان داد که در هجدهمین روز Gestation همانجا با پیدایش لمباربادی ها در گرانولار نوموسایت ها یک نزول ناگهانی در کشش سطحی عباره ریه ایجاد میشود . بعارت دیگر بمنظور انجام عمل تنفس میباشیست کشش سطحی مایعات داخل آلوئل های ریه کاهش یابد و سورفکنت که مسئول این کاهش کشش سطحی است توسط لمباربادی های گرانولار نوموسایت ها به داخل فضاهای آلوئلی ترشح میشود .

مطالعه ساختمان شیمیائی سورفکنت نشان داد که این ماده یک فسفولیپید است که بصورت «دای پالمتیول لسیتین» (۱۸) در ریه وجود دارد . اندازه گیری مقدار لسیتین موجود در نسج ریه و فضاهای آلوئلی ریه خرگوش در ۱۹۶۷ توسط Kikkawa, Gluck Motoyama نشان داد که قبل از تولد لسیتین بیشتر در داخل نسج ریه متتمرکز بوده بمحض شروع تنفس، یک تخلیه شدید لسیتین از نسج داخل فضاهای آلوئلی صورت میگیرد و این مساله همراه با خالی شدن محتویات لمباربادی های گرانولار نوموسایت ها میباشد . بنابراین از نظر شیمیائی نیز مساله ترشح سورفکنت توسط لمباربادی ها مسلم میگردد .

تحقیقات بیوشیمیائی در مورد (چگونگی سنتر - سورفکنت در گرانولار نوموسایت ها توسط

Buchingham, Heinemann, Sommers McNary در ۱۹۶۶ انجام شد . این

تحقیق «پالمیتیت» (۱۹) نشانه گذاری شده را به خرگوش تزریق کرده و در «اتورادیو گرافها» (۱۹) ریه ملاحظه نمودند که حداکثر رادیو اکتیویتی درستوپلاسم گرانولار نوموسایت ها متتمرکز است نه در لمباربادی ها . این مساله

میتوکندریها از سیتوپلاسمی که آنها را احاطه کرده تیره تر بنظر میرسد (تصاویر ۳ و ۴) . لیزوزم واکثول در این سلول ها بهیچ وجه وجود ندارد .



تصویر شماره ۴ : قسمتی از یک گرانولار نوموسایت را درشت نمائی بیشتر نشان میدهد . تفاوت ساختمان لمباربادی ها (L) و میتوکندریها (M) در این تصویر بخوبی نمایان است . در سیتوپلاسم سلول اندوپلاسمیک رتیکولوم (E) بسیار فراوان دیده میشود (X ۵۰۰۰) .

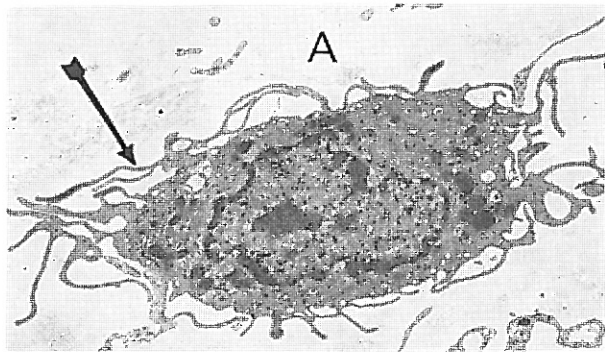
در ۱۵ سال اخیر ساختمان گرانولار نوموسایت ها مورد مطالعه دقیق و وسیعی قرار گرفته است . در سال ۱۹۴۷ یکی از اولین کسانی که متوجه وجود سلول های مکعبی در ساختمان دیواره آلوئل های ریه پستانداران شد Reinhardt بود .

امروزه ثابت شده که آن سلول های مکعبی همین گرانولار نوموسایت ها میباشد . در سال ۱۹۵۴ Schlipkoter اولین کسی بود که وجود لمباربادی را در این سلول ها شرح داد . در سال ۱۹۵۹ Schulz نام گرانولار نوموسایت را برای این سلول ها گذاشت .

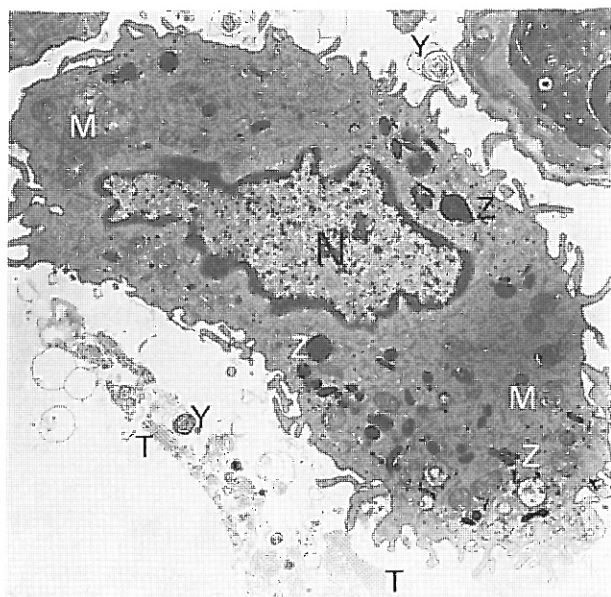
او معتقد بود که لمباربادی ها از میتوکندری های تغییر شکل یافته بوجود می آیند . محققین پیرو این مکتب بودند تازمانیکه تحقیقات تجربی بر روی این سلولها بوسیله Campiche در ۱۹۶۰ در ریه نزاد موش صحرائی (۱۵) انجام شد . اوریه این حیوانات را در دو فیکساتیو مختلف : آزمیوم تتراکساید و پیتاسیم پرمگنیت (۱۶) قرارداد و ملاحظه کرد که ساختمان لایه مواد موجود در گرانول های گرانولار نوموسایت ها فقط در نسوجی دیده میشود که در آزمیوم تتراکساید ثابت شده بودند حال آنکه میتوکندریها

۲ - ماکروفازهای پولمونر :

سلول هائی هستند دو برابر اندازه گرانولارنوموسایت ها که بطور آزاد در داخل فضاهای آلوفای دیده میشوند. این سلول ها شکل خاصی نداشته دارای تعداد زیادی پاهای کاذب میباشند (تصاویر شماره ۵ و ۶). گاهی آنچنان در تماس قردنیک با دیواره آلوفلها هستند که بنظر میسد در حال



تصویر شماره ۵ : در این تصویر یک ماکروفازپولمونر در داخل فضای آلوفای (A) دیده میشود . این سلولها پاهای کاذب فراوانی دارند (پیکان سیاه) (۷۵۰۰ \times) .



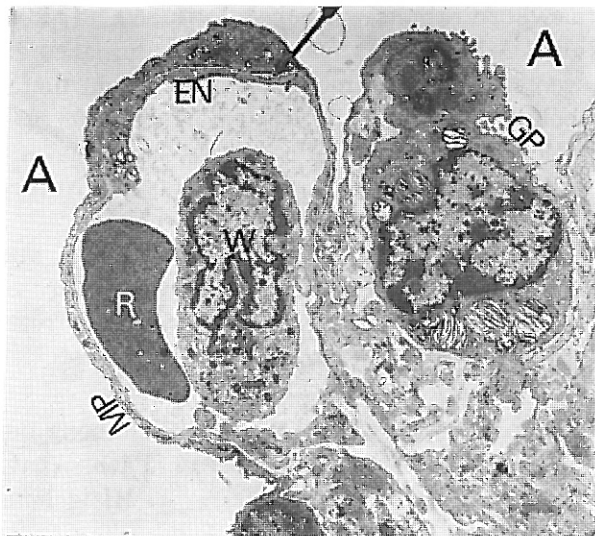
تصویر شماره ۶ : یک ماکروفازپولمونر را بادرشت نمائی بیشتر در داخل فضای آلوفای نشان میدهد . لیزوژمهای برنگ تیره و باشکال مختلف (Z)، میتوکندریهای گرد یا بیضی (M)، هسته سلول (N) و بالآخره پاهای کاذب متعدد سلول قابل توجه میباشند . در فضای آلوفای سورفکتت ترشح شده بصورت اجسام Lattice Myelin Figures، T به شکل چهارخانه

بشکل مارپیچ (Y) دیده میشوند .

نشان داده لملاربادیها اعضاء ذخیره کننده سورفکتت هستند نه سازنده آن ، ولی بعثت دارابودن خاصیت ترشحی در موقع لزوم محتویات خود را بداخل فضاهای آلوفای رها میسازند . مطالعه تغییرات پاتولوژیک ریه نیز خاصیت ترشحی گرانولارنوموسایت هارا نشان میدهد در سال Bensch, ۱۹۶۴ Schaefer, Avery محیطی با فشار زیاد قرارداده و بدین ترتیب ایجاد اسیدوز تنفسی در حیوانات مذکور نمودند . مطالعه ساختمان ریه این حیوانات با میکروسکپ الکترونیک نشان داد که در مرحله اسیدوز تنفسی لملاربادیها محتویات خود را بداخل فضاهای آلوفای رها کرده و خود بصورت حفرات خالی نمایان میشوند حال آنکه در مرحله Recovery ساختمان عادی خود را باز میبایند . مطالعه ریه نوزادان نارس مبتلا به سندرم

Idiopathic Respiratory Distress syndrome میکروسکوب الکترونیک کمبود تعداد گرانولارنوموسایت ها را نشان میدهد . امروز عقیده محققین براین است که افلکتازی ریه این نوزادان بعات کمبود پولموناری (۲۱) سورفکتت میبایشد .

رهاشدن سورفکتت از لملاربادیها تحت اثر کنترل سیستم عصبی انجام میشود . چنانچه موش صحرائی را Vagotomised کنیم بلا فاصله یک نشان دانسیته در لملاربادیها بوجود میآید . این مساله با کلایپس ریه بعات فتقدان سورفکتت همراه میباشد . در ۱۹۶۷ Niden پیشنهاد کرد که پولموناری «سورفکتت در کلاراسلها» (۲۲) ساخته میشود . اکتیو را به موش صحرائی تزریق کرده چگونگی تمرکز این ماده را بوسیله انورادیو گرافی در ریه نشان دادند . این مطالعه نشان داد که قسمت اعظم ماده رادیواکتیو در کلاراسلها و فقط مقدار کمی از آن در گرانولارنوموسایت ها متمن کر میشود . همچنین کلاراسلها حداکثر رادیواکتیویتی را در دقیقه دوم بعد از تزریق نشان داده این رادیواکتیویتی در عرض ۶۰ دقیقه به صفر میرسد . حال آنکه گرانولارنوموسایت ها حداقل رادیواکتیویتی را در دقیقه چهارم بعد از تزریق نشان داده این رادیواکتیویتی بتدریج افزایش پیدا میکند ولی هر گر به میزان ملاحظه شده در کلاراسلها نمیرسد . این تجربه نشان میدهد که پولموناری سورفکتت در کلاراسل های اپتیلیوم مجاری هوایی داخل ریوی ساخته شده و در داخل گرانولارنوموسایت ها ذخیره میشوند . در موارد لزوم مثلا در زمان تولد تحت تاثیر عصب واگ لملاربادیها محتویات خود را که همان پولموناری سورفکتت میباشد بداخل آلوفل های رهاساخته کشش سطحی داخل این فضاهارا پائین میآورند و بدین ترتیب ریه از حالت کلایپس خارج شده و محتوی هوا میگردد .



تصویر شماره ۷ : در این تصویر یک مویرگ آلوئل دیده میشود که بداخل فضای آلوئل (A) برجستگی پیدا کرده است و ساختمان سه لایه سازنده جدار مویرگ را بخوبی نشان میدهد . خارجی ترین لایه مربوط است به یک ورقه نازک سیتوپلاسم مبرانوس نوموسایت (MP) داخلی ترین لایه مربوط است به سیتوپلاسم سلول های اندویتال مویرگ (EN) و لایه حد واسط مربوط است به مامبران بازال (بیکان سیاه) . این مویرگ محتوی یک گلbul قرمز (R) و یک گلbul سفید (W) میباشد . در گوش راست تصویر یک گرانولارنوموسایت (GP) دیده میشود (X ۷۵۰۰) .

لایه درحد واسط بین اپتیلیوم و اندوتلیوم قرار گرفته و عبارتست از یک ماده هموژن که دولایه اپتیلیوم و اندوتلیوم را بیکدیگر متصل میکند و بنام مامبران بازال نامیده میشود . بنابراین دیواره حد واسط خون مویرگ آلوئل و هوای داخل آلوئل بسیار نازک بوده مثلا در مویرگی که در تصویر شماره ۷ نشان داده شده این دیواره ضخامتی برابر ۱۵۰ میکرون دارد .

Summary

In this paper many of the principal structure of the Moral Lung were studied with the help of Electron Microscopy. Detailed description was given of Granular Pneumocytes, Membranous Pneumocytes, Macrophages, and Alveolar Capillaries. A discussion followed on the form and function of Granular Pneumocytes.

Acknowledgements

I am grateful to the Reza Shah Pahlavi Foundation for its generous support of this study, and to Dr. S. C. McDonald for his advice in this paper.

مهاجرت از این دیواره بداخل فضای آلوئل میباشد . این سلول ها محتوی میتوکندریهای گرد و یا بیضی هستند ولی هر گر میتوکندریهای بسیار طویل در آنها دیده نمیشود . دانسته ماده داخل میتوکندریها مساوی دانسته سیتوپلاسم اطراف میباشد و بین جهت در مطالعه با میکروسکوپ الکترونیک تفاوت زنگ چندانی بین سیتوپلاسم سلول و ماتریکس میتوکندریها دیده نمیشود . از مشخصات بارز این سلول ها وجود یک دستگاه گلزاری بسیار تزدیک به هسته وجود واکوئل ها و لیزوژمهای متعدد در سیتوپلاسم میباشد . لیزوژمهای گرد، بیضی و یا هلالی بوده محتوی ماده آمورف تیره ای هستند و بواسیله یک مامبران محدد و میشنوند (تصویر شماره ۶) .

سورفکتت بصورت اجسام مارپیچی بنام Myelin Figures

و یا بصورت اجسام چهارخانه ای بنام اجسام Attice در فضا های آلوئل دیده میشود . ماکروفاراژ های پولول این مواد را بواسیله پاهای کاذب خود محاصره کرده و در لیزوژمهای خود که محتوی آنزیم های موجود در ماکروفاراژ های سینما بند . بیشتر از آنزیم های موجود در ماکروفاراژ های سایر نقاط بدن است . این تفاوت را میتوان بین صورت توجیه کرد که چون میوان دبری (۲۳) و اجسام خارجی در داخل آلوئل های ریه بیشتر از سایر نقاط بدن است و ماکروفاراژ ها مسئول فاگوسیتوز این ، اجسام میباشند لذا این سلول ها میباشند محتوی آنزیم بیشتری باشند تا عمل هضم جذب ذرات Pratt Smith (۱۹۷۱) نشان داد که ماکروفاراژ های آلوئلی افراد معتاد به دخانیات دارای لیزوژم بیشتری بوده و این لیزوژمهای اشکالی کاملا Bizarre دارند . حال آنکه در افراد غیر معتاد به دخانیات تعداد لیزوژمهای ماکروفاراژ های آلوئلی بسیار کمتر بوده دارای شکل مشخصی میباشند . عبارت دیگر ماکروفاراژ های نسوج مختلف از نظر خاصیت فاگوسیتیک و فعالیت لیزوژمی کاملا بایکدیگر متفاوت بوده آنها که محتوی تعداد بیشتری لیزوژم هستند فعالتر میباشند .

۳ - مویرگهای آلوئلی :

تعداد بسیار زیادی مویرگ در دیواره آلوئل های ریه دیده میشود که بداخل فضاهای آلوئلی برجستگی پیدا کرده اند (تصویر شماره ۷) . دیواره هر مویرگ آلوئلی از سه لایه تشکیل شده است . خارجی ترین لایه عبارتست از یک ورقه نازک سیتوپلاسم سلول های اپتیلیال که سطح مویرگ را در تماس (۲۴) با هوا میپوشاند . این سیتوپلاسم اکثر مربوط به سلول های تیپ ۱ یا مامبرانوس نوموسایت و بندرت مر مربوط لایه عبارتست از سیتوپلاسم یک ردیف سلول های اندویتال مستقیم با خون میباشد . هسته این سلول ها گاهی به چشم میخورد که عمیقاً در داخل دیواره آلوئل قرار دارد . آخرین

REFErencES

- Bensch, K., Schaeper, K. and Avery, M. E., (1964). Granular pneumocytes; electron microscopic evidence of their exocrine function. *Science*, **145**, 1318.
- Buckingham, S., Heinemann, H. O., Sommers, S. C. and McNary, W. F. Jr., (1966). Phospholipid synthesis in the large pulmonary alveolar cell. Its relation to lung surfactants. *Amer. J. Path.*, **48**, 1027-1041.
- Campiche, M. (1960). Les inclusions lamellaires des cellulas alvéolaires dans le poumon du rat. *J. Ultrastruct. res.*, **3**, 302-312.
- Clements, J. A. (1957). Surface tension of lung extracts. *Proc. Soc. exp. biol. med.*, **95**, 170-172.
- Conning, D. M. and Etherton, J. E. (1971). The secretion of pulmonary surfactant in the mouse: an investigation using radio-active palmitic acid. Proceedings of Pathological Society of Great Britain and Ireland. *J. Path.*, P. IV.
- Kikkawa, Y., Motoyama, E. K. and Gluck, L. (1968). Study of the lungs of foetal and newborn rabbits. *Amer. J. Path.*, **52**, 177-209.
- Niden, A.H. (1967). Bronchiolar and large alveolar cell in pulmonary phospholipid metabolism. *Science*, **158**, 1323-1324.
- Pattle, R. E. (1955). Properties, function, and origin of the alveolar lining layer. *Nature Lond.*, **175**, 1125-1126.
- Pratt, S. A., Smith, M. H., Ladman, A. J. and Finlay, T. N. (1971). The ultrastructure of alveolar macrophages from human cigarette smokers and non-smokers. *Lab. invest.*, **24**, 331-338.
- Reinfardt, B. (1847). Ueber die entstehung der kornchenzillen. *Virchow Arch. Path. Anat.*, **1**, 20; after sorokin (1966). *J. Histochem. cytochem.*, **14**, 884.
- Schlipkötter, H. W. (1954). Elektronenoptische untersuchungen ultradünner lungenschritte. *Deutsche. Metd. wschr.*, **79**, 1658.
- Schulz, H. (1959). The submicroscopic anatomy and pathology of the lung. Springer - Verlag, Berlin.
- Woodside, G. L. and Dalton, A. J. (1958). The ultrastructure of lung tissue from newborn and embryo mice. *J. Ultrastruct. res.*, **2**, 28-54.